
EXPLOTACIÓN DE LA RED DE SEGUIMIENTO DE EMBALSES EN APLICACIÓN DE LA DIRECTIVA MARCO DEL AGUA EN LA DEMARCACIÓN HIDROGRÁFICA DEL EBRO

INFORME FINAL DEL EMBALSE DE ALLOZ



ÁREA DE CALIDAD DE AGUAS
CONFEDERACIÓN HIDROGRÁFICA DEL EBRO



EXPLOTACIÓN DE LA RED DE SEGUIMIENTO DE EMBALSES EN APLICACIÓN DE LA DIRECTIVA MARCO DEL AGUA EN LA DEMARCACIÓN HIDROGRÁFICA DEL EBRO

PROMOTOR:

CONFEDERACIÓN HIDROGRÁFICA DEL EBRO



SERVICIO:

CONTROL DEL ESTADO ECOLÓGICO

DIRECCIÓN DEL PROYECTO:

Concha Durán Lalaguna y María José Rodríguez Pérez

EMPRESA CONSULTORA:

Instituto Cavanilles de Biodiversidad y Biología Evolutiva de la Universidad de Valencia Estudi General

EQUIPO DE TRABAJO:

Área de Limnología, dirigida por Dr. Eduardo Vicente Pedrós, Catedrático de Ecología. Director del Estudio.

PRESUPUESTO DE LA ADJUDICACIÓN:

69.814,27 €

CONTENIDO:

INFORME INDIVIDUAL DEL EMBALSE DE ALLOZ

AÑO DE EJECUCIÓN:

2013

FECHA ENTREGA:

DICIEMBRE 2013

REFERENCIA IMÁGENES PORTADA:

Vista del punto de acceso al embalse de Alloz.

CITA DEL DOCUMENTO: Confederación Hidrográfica del Ebro (2013). Explotación de la red de seguimiento de embalses en aplicación de la Directiva Marco del Agua en la Demarcación Hidrográfica del Ebro. 198 págs. más anejos. Disponible en PDF en la web: <http://www.chebro.es>

El presente informe pertenece al Dominio Público en cuanto a los Derechos Patrimoniales recogidos por el Convenio de Berna. Sin embargo, se reconocen los Derechos de los Autores y de la Confederación Hidrográfica del Ebro a preservar la integridad del mismo, las alteraciones o la realización de derivados sin la preceptiva autorización administrativa con fines comerciales, o la cita de la fuente original en cuanto a la infracción por plagio o colusión. A los efectos prevenidos, las autorizaciones para uso no científico del contenido deberán solicitarse a la Confederación Hidrográfica del Ebro.

ÍNDICE

	Página
1. INTRODUCCIÓN.....	7
2. DESCRIPCIÓN GENERAL DEL EMBALSE Y DE LA CUENCA VERTIENTE.....	7
2.1. <i>Ámbito geológico y geográfico</i>	<i>7</i>
2.2. <i>Características morfométricas e hidrológicas</i>	<i>7</i>
2.3. <i>Usos del agua</i>	<i>9</i>
2.4. <i>Registro de zonas protegidas.....</i>	<i>9</i>
3. TRABAJOS REALIZADOS	10
4. DIAGNÓSTICO DE LA SITUACIÓN ACTUAL	11
4.1. <i>Características fisicoquímicas de las aguas</i>	<i>11</i>
4.2. <i>Hidroquímica del embalse.....</i>	<i>14</i>
4.3. <i>Fitoplancton y concentración de clorofila</i>	<i>15</i>
4.4. <i>Zooplancton.....</i>	<i>18</i>
5. DIAGNÓSTICO DEL GRADO TRÓFICO	20
6. DIAGNÓSTICO DEL POTENCIAL ECOLÓGICO	21
ANEXO I. REPORTAJE FOTOGRÁFICO	

ÍNDICE DE FIGURAS Y TABLAS

ÍNDICE DE FIGURAS CORRESPONDIENTES A GRÁFICOS Y FOTOS

Figura 1. Volumen embalsado y salida durante el año hidrológico 2012-2013.	9
Figura 2. Localización de la estación de muestreo en el embalse.	10
Figura 3. Perfil vertical de la temperatura y pH	11
Figura 4. Perfil vertical de la extinción luminosa y oxígeno disuelto	12
Figura 5. Perfil vertical de la conductividad	13
Figura 6. Perfil vertical de la clorofila <i>a</i>	14
Figura 7. Fotografía de la presa del embalse.....	27
Figura 8. Fotografía del punto de acceso al embalse.	27
Figura 9. Fotografía de la cola del embalse	28

ÍNDICE DE TABLAS

Tabla 1. Características morfométricas del embalse de Alloz.....	8
Tabla 2. Estructura y composición de la comunidad de fitoplancton.....	15
Tabla 3. Composición detallada de la comunidad de fitoplancton.....	16
Tabla 4. Estructura y composición de la comunidad de zooplancton.....	18
Tabla 5. Composición detallada de la comunidad de zooplancton.....	19
Tabla 6. Parámetros indicadores y rangos de estado trófico.	20
Tabla 7. Diagnóstico del estado trófico del embalse de Alloz.	20
Tabla 8. Parámetros y rangos para la determinación del potencial ecológico experimental.	21
Tabla 9. Combinación de los indicadores.....	22
Tabla 10. Diagnóstico del potencial ecológico del embalse de Alloz.	22
Tabla 11. Valores de referencia propios del tipo (VR_t) y límites de cambio de clase de potencial ecológico (B/M, Bueno-Moderado) de los indicadores de los elementos de calidad de embalses (Orden ARM/2656/2008).	23
Tabla 12. Parámetros, rangos del RECT y valores para la determinación del potencial ecológico normativo.	24
Tabla 13. Combinación de los indicadores.....	24
Tabla 14. Diagnóstico del potencial ecológico (PE_{norm}) del embalse de Alloz.....	25

1. INTRODUCCIÓN

El presente documento recoge los resultados de los trabajos realizados en el embalse de Alloz durante los muestreos de 2013 y la interpretación de los mismos, a efectos de proporcionar una referencia que facilite la consulta y explotación de la información obtenida.

En general, se recurre a presentaciones gráficas y sintéticas de la información, acompañadas de un texto conciso, lo que permitirá una consulta ágil y rápida del documento.

En el **Anexo I** se presenta un reportaje fotográfico que refleja el aspecto del embalse durante el periodo estudiado (verano 2013, correspondiente al año hidrológico 2012-2013).

En apartados sucesivos se comentan los siguientes aspectos:

- Resultados del estudio en el embalse (FASE DE CARACTERIZACIÓN) de todos los aspectos tratados (hidrológicos, fisicoquímicos y biológicos), que culminan en el diagnóstico del grado trófico.
- Clasificación del “Potencial Ecológico”, tras la aplicación de los indicadores biológicos y fisicoquímicos propuestos en la Directiva Marco del Agua.

2. DESCRIPCIÓN GENERAL DEL EMBALSE Y DE LA CUENCA VERTIENTE

2.1. Ámbito geológico y geográfico

El embalse de Alloz se sitúa dentro del término municipal de Yerri - Guesalaz, en la provincia de Navarra. Regula en las aguas del río Salado.

En sentido amplio, la cuenca del embalse de Alloz, se enclava entre materiales como son limolitas y argilitas rojas; niveles de areniscas; conglomerados y margas, pertenecientes al Paleógeno, dentro del Oligoceno.

2.2. Características morfométricas e hidrológicas

La cuenca vertiente al embalse de Alloz tiene una superficie total de 13450,71 ha.

El embalse tiene una capacidad total de 65,32 hm³. Tiene una profundidad media de 28,5 m, mientras que la profundidad máxima es de 59,80 m.

En la tabla 1 se presentan las características morfométricas del embalse.

Tabla 1. Características morfométricas del embalse de Alloz.

Superficie de la cuenca	155 km ²
Capacidad total N.M.N.	65,32 hm ³
Capacidad útil	65 hm ³
Aportación media anual	120 hm ³
Superficie inundada	347 ha
Cota máximo embalse normal	467,69 m

Tipo de clasificación: 7. Monomítico, calcáreo, de zona húmeda, perteneciente a ríos de cabecera y tramo alto, con temperatura media anual menor de 15 °C.

Se trata de un embalse monomítico. La termoclina en el periodo estival se sitúa entre los 5 y 10 metros de profundidad y el límite inferior de la capa fótica en verano se encuentra alrededor de los 12 metros de profundidad cuando se determina con medidor fotoeléctrico; si la medición se realiza con el Disco de Secchi, es de 10,5 m.

El tiempo de permanencia hidráulica media en el embalse de Alloz para el año hidrológico 2012-2013 fue de 2,49 meses.

En la figura 1 se presentan los valores diarios del volumen embalsado y salida media correspondientes al año hidrológico 2012-2013.

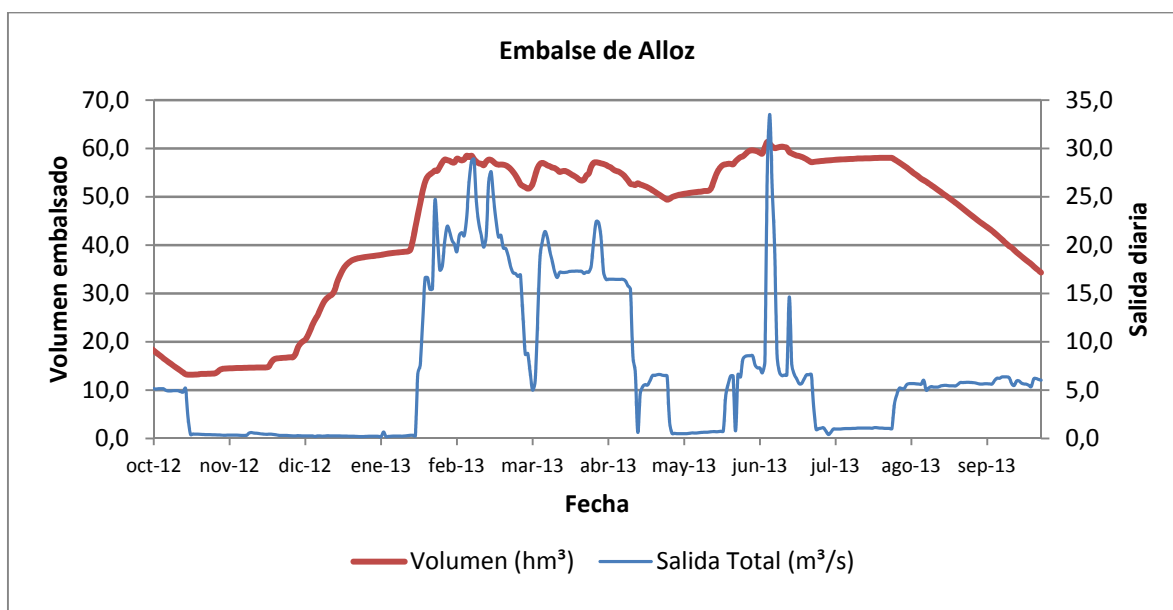


Figura 1. Volumen embalsado y salida durante el año hidrológico 2012-2013.

2.3. Usos del agua

Las aguas del embalse se destinan principalmente a los regadíos y al aprovechamiento hidroeléctrico. Los usos recreativo y deportivo también son significativos, permitiéndose el baño, la navegación (a remo y a vela sin restricciones, no es apto para motor) y la pesca en este embalse.

2.4. Registro de zonas protegidas

El embalse de Alloz forma parte del Registro de Zonas Protegidas elaborado por la Confederación Hidrográfica del Ebro, en contestación al artículo 6 de la Directiva Marco del Agua, en las categorías de zonas de uso recreativo (zona de baño: Guesalaz) y zonas sensibles a nutrientes (zonas sensibles bajo el marco de la Directiva 91/271/CEE).

3. TRABAJOS REALIZADOS

Para acometer la caracterización del embalse se ha ubicado una estación de muestreo en las inmediaciones de la presa (ver figura 2). Se ha completado una campaña de muestreo el 23 de Julio de 2013, en la que se midieron *in situ* los parámetros fisicoquímicos y la transparencia en la columna de agua, se tomó una muestra de agua integrada y otras puntuales para los análisis químicos y se realizaron muestreos de fitoplancton y zooplancton.

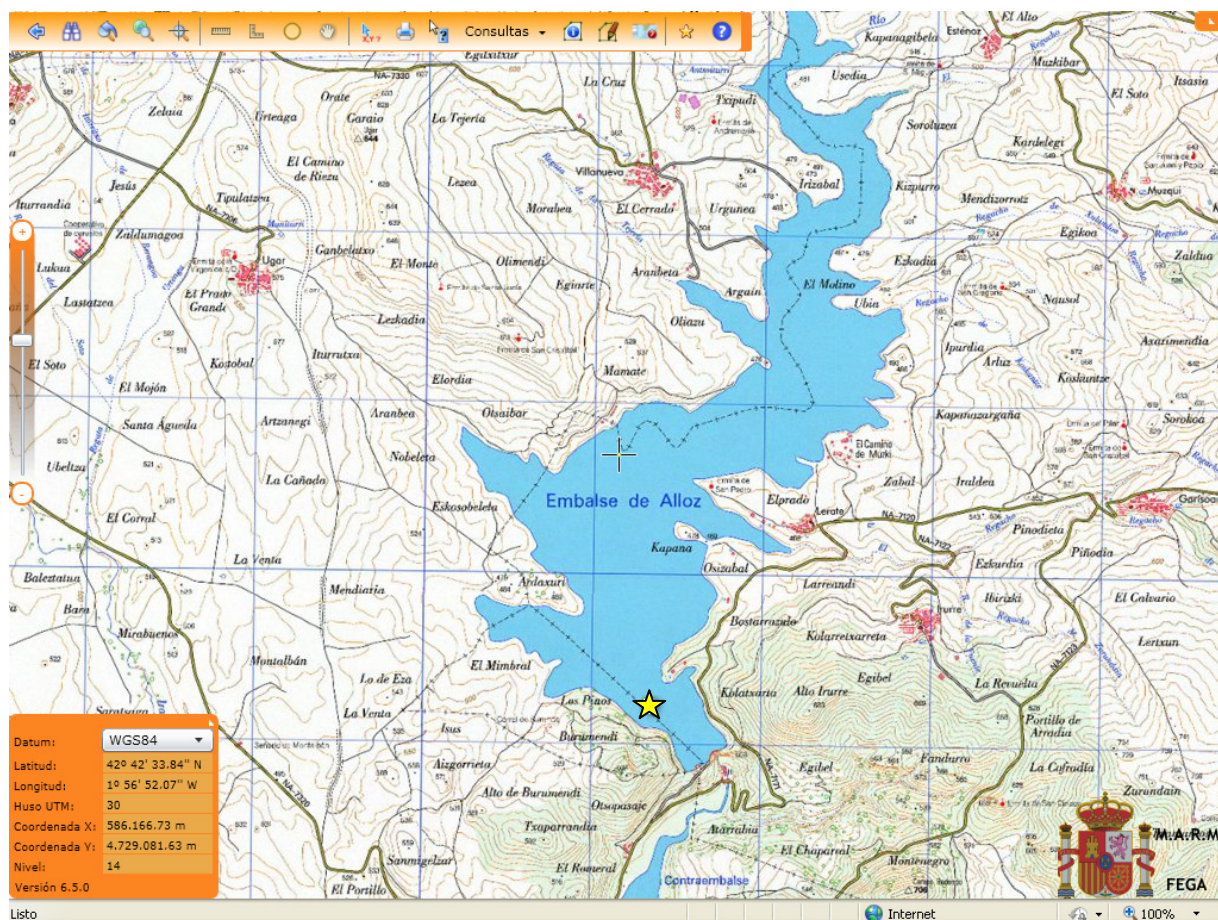
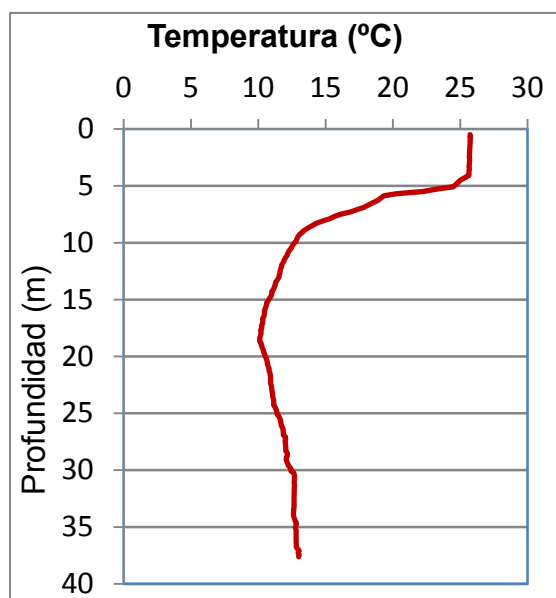


Figura 2. Localización de la estación de muestreo en el embalse.

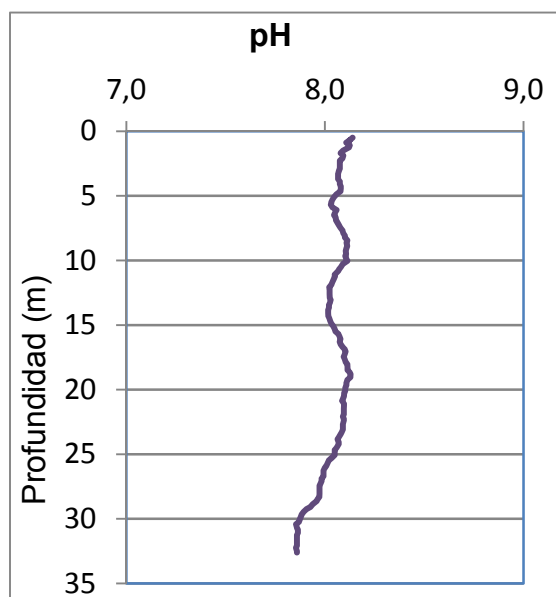
4. DIAGNÓSTICO DE LA SITUACIÓN ACTUAL

4.1. Características fisicoquímicas de las aguas

De los resultados obtenidos se desprenden las siguientes apreciaciones:

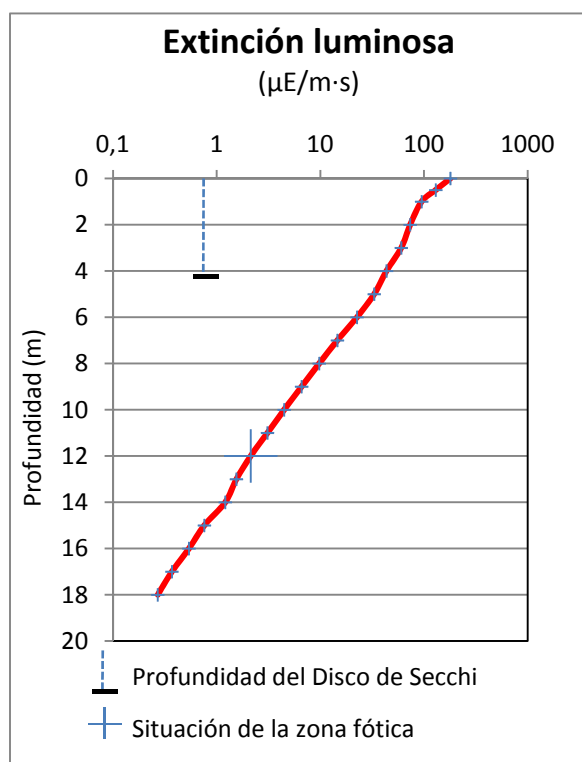


La temperatura del agua oscila entre los 13,0 °C – en el fondo- y los 25,73 °C -máximo registrado en superficie-. En el momento del muestreo (Julio 2013) la termoclina se sitúa entre los 5-10 m de profundidad.



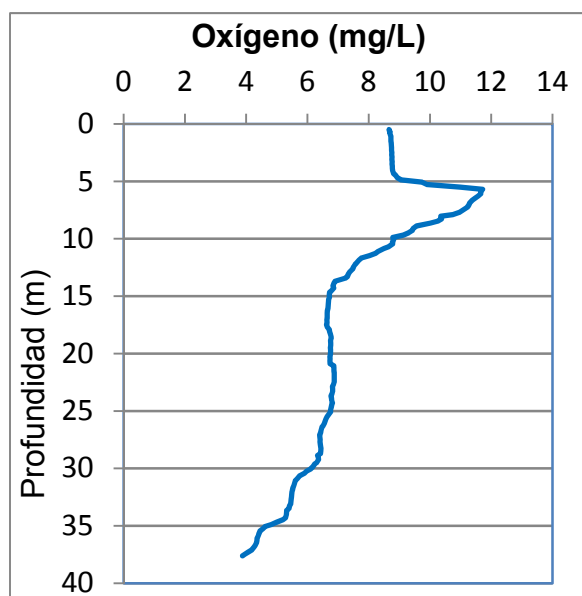
El pH del agua en la superficie es de 8,14. En el fondo del embalse el valor del pH es de 7,86.

Figura 3. Perfil vertical de la temperatura y pH.



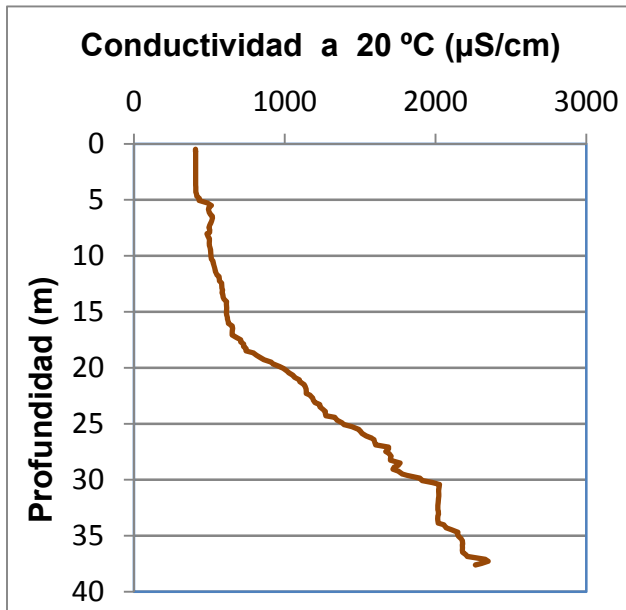
La transparencia del agua registrada en la lectura de disco de Secchi (DS) es de 4,2 metros, lo que supone una profundidad de la capa fótica en torno a 10,5 metros. Sin embargo, la determinación mediante medidor fotoeléctrico proporciona el valor de 12 m como espesor de la capa fótica.

La turbidez media de la zona eufótica (muestra integrada a 12 m de profundidad) fue de 2,00 UAF.



Las condiciones de oxigenación de la columna de agua en el epilimnion (entre la superficie y 5 m de profundidad) alcanzan en el muestreo una concentración media de 8,81 mg/L. En el hipolimnion (a partir de 10 m) las condiciones medias de oxigenación son de 6,38 mg/L. No se han detectado condiciones anóxicas ($<2 \text{ mg O}_2/\text{L}$).

Figura 4. Perfil vertical de la extinción luminosa y oxígeno disuelto.



La conductividad del agua es de 409 $\mu\text{S/cm}$ en la superficie, y aumenta progresivamente con la profundidad hasta alcanzar el valor de 2265 $\mu\text{S/cm}$ en el fondo.

Figura 5. Perfil vertical de la conductividad.

4.2. Hidroquímica del embalse

De los resultados analíticos obtenidos en la campaña de 2013 en la muestra integrada, se desprenden las siguientes apreciaciones:

- La concentración de fósforo total (PT) en la muestra integrada (zona fótica) fue de 9,95 $\mu\text{g P/L}$.
- La concentración de P soluble fue de 1,63 $\mu\text{g P/L}$.
- La concentración de nitrógeno total (NT) fue de 1,24 mg N/L.
- La concentración de nitrógeno inorgánico oxidado (nitrato + nitrito, NIO) tomó un valor de 0,15 mg N/L.
- La concentración de amonio (NH_4) resultó ser de 0,017 mg N/L.
- La concentración de sílice tomó un valor de 1,15 mg SiO_2/L .
- La alcalinidad en este embalse (zona fótica) fue de 3,16 meq/L.

4.3. Fitoplancton y concentración de clorofila

En el análisis realizado se han identificado un total de 20 especies, distribuidas en los siguientes grupos taxonómicos:

BACILLARIOPHYCEAE	2
CHRYSOPHYCEAE	2
SYNUROPHYCEAE	1
XANTHOPHYCEAE	1
CHLOROPHYTA	11
CRYPTOPHYCEAE	2
DINOPHYCEAE	1

La estructura y composición de la comunidad de fitoplancton se resume en la tabla 2:

Tabla 2. Estructura y composición de la comunidad de fitoplancton.

PARÁMETRO	UNIDAD	VALOR
Nº CÉLULAS TOTALES	nº cel./ml	980,48
BIOVOLUMEN TOTAL	µm³/ml	228688
Diversidad Shannon-Wiener		2,83
CLASE PREDOMINANTE (DENSIDAD)		Chlorophyceae
Nº células/ml		555,88
ESPECIE PREDOMINANTE (DENSIDAD)		<i>Pseudodidymocystis planctonica</i> (= <i>Didymocystis planctonica</i>)*
Nº células/ml		346,38
CLASE PREDOMINANTE (BIOVOLUMEN)		Dinophyceae
Nº células/ml		122183
ESPECIE PREDOMINANTE (BIOVOLUMEN)		<i>Ceratium hirundinella</i>
Nº células/ml		122183

* Nota: Entre paréntesis se cita el anterior nombre de la especie.

La concentración de clorofila fue de 1,75 µg/L en la muestra integrada, cuya profundidad se indica en la figura 6 con una línea roja. Se observa en el perfil vertical realizado con el fluorímetro un valor máximo en la zona hipolimnética, sobre los 13 m de profundidad.

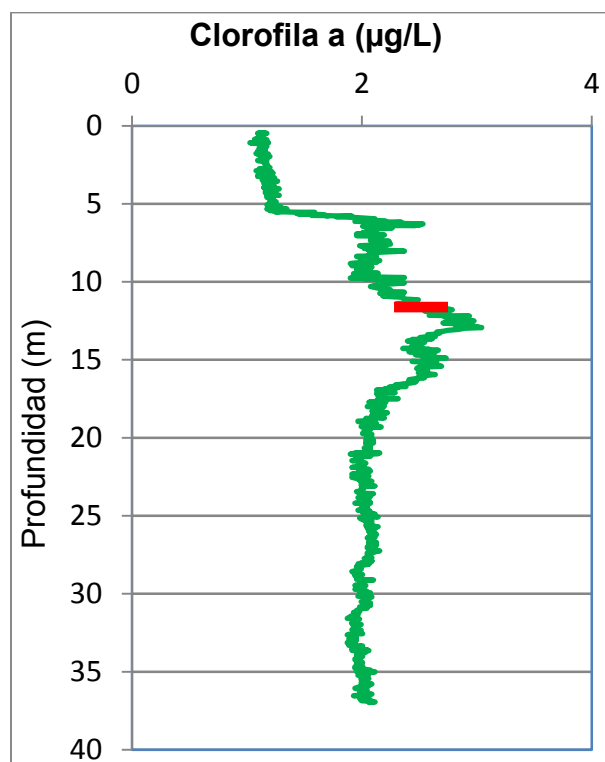


Figura 6. Perfil vertical de la clorofila a.

La composición de la población fitoplanctónica de la muestra integrada de la zona fótica indicando su abundancia y biovolumen, y la densidad cualitativa de la muestra integrada de fitoplancton del muestreo vertical con red de plancton, muestran los resultados de la tabla 3:

Tabla 3. Composición detallada de la comunidad de fitoplancton.

COMPOSICIÓN	ABUNDANCIA	BIOVOLUMEN	CUALITATIVO
FITOPLANCTON	cél./ml	$\mu\text{m}^3/\text{ml}$	
BACILLARIOPHYCEAE/CENTRALES/			
<i>Cyclotella radiosa</i>	13,97	3071,49	1
<i>Cyclotella</i> sp. pequeña	5,59	658,18	-
CHRYSOPHYCEAE			
<i>Kephyrion planktonicum</i>	5,59	184,29	-
<i>Ochromonas</i> sp.	2,79	1599,37	-
SYNUROPHYCEAE			
<i>Mallomonas akrokomos</i>	5,59	2527,40	-
XANTHOPHYCEAE			
<i>Trachydiscus sexangulatus</i>	134,08	16849,32	-
CHLOROPHYTA			
<i>Coelastrum microporum</i>	22,35	4586,76	2
<i>Chlamydomonas</i> sp.	8,38	2246,58	1

COMPOSICIÓN	ABUNDANCIA	BIOVOLUMEN	CUALITATIVO
FITOPLANCTON	cél./ml	µm ³ /ml	
<i>Desmodesmus hystrix</i> (= <i>Scenedesmus hystrix</i>)	11,17	1474,32	1
<i>Monoraphidium dybowskii</i>	5,59	184,29	-
<i>Monoraphidium komarkovae</i>	2,79	447,56	-
<i>Oocystis lacustris</i>	16,76	1238,43	1
<i>Pseudodidymocystis planctonica</i> (= <i>Didymocystis planctonica</i>)	346,38	6529,11	-
<i>Radiococcus nimbatius</i>	-	-	3
<i>Saturnella cortiola</i>	19,55	5733,45	1
<i>Sphaerocystis planctonica</i>	22,35	4422,95	2
<i>Tetrastrum komarekii</i>	55,87	8044,96	1
<i>Willea irregularis</i>	44,69	12613,59	2
CRYPTOPHYCEAE			
<i>Cryptomonas pusilla</i>	5,59	1290,03	1
<i>Plagioselmis</i> (= <i>Rhodomonas</i>) <i>lacustris</i>	248,61	32803,52	1
DINOPHYCEAE			
<i>Ceratium hirundinella</i>	2,79	122182,81	2
<i>Peridinium cinctum</i>	-	-	1
TOTALES BACILLARIOPHYCEAE	19,55	3729,67	
TOTALES CHRYSOPHYCEAE	8,38	1783,66	
TOTALES SYNUROPHYCEAE	5,59	2527,40	
TOTALES XANTHOPHYCEAE	134,08	16849,32	
TOTALES CHLOROPHYTA	555,88	47521,98	
TOTALES CRYPTOPHYCEAE	254,20	34093,55	
TOTALES DINOPHYCEAE	2,79	122182,81	
TOTALES ALGAS	980,48	228688,39	

Nota: Entre paréntesis se cita el anterior nombre de la especie.

Clases de abundancia	% de presencia
1	<9
2	10-24
3	25-60
4	61-99
5	>99

4.4. Zooplancton

En el análisis de zooplancton de las muestras del embalse de Alloz se han identificado un total de 7 especies, distribuidas en los siguientes grupos taxonómicos:

- 3 Cladocera
- 2 Copepoda
- 2 Rotifera

La estructura y composición de la comunidad de zooplancton se resume en la tabla 4:

Tabla 4. Estructura y composición de la comunidad de zooplancton.

PARÁMETRO	UNIDAD	VALOR
PROFUNDIDAD	m	10,0
DENSIDAD TOTAL	individuos/L	140,77
BIOMASA TOTAL	µg/L	338,31
Diversidad Shannon-Wiener		2,44
CLASE PREDOMINANTE (DENSIDAD)		Cladóceros
individuos/L		84,62
ESPECIE PREDOMINANTE (DENSIDAD)		<i>Daphnia galeata</i>
individuos/L		72,31
CLASE PREDOMINANTE (BIOMASA)		Cladóceros
µg/L		272,31
ESPECIE PREDOMINANTE (BIOMASA)		<i>Daphnia galeata</i>
µg/L		245,85
COLUMNA AGUA INTEGRADA (red vertical)		0 - 30 m
CLADÓCEROS: 36,47 %		COPÉPODOS: 47,72%
		ROTÍFEROS: 15,81 %

La composición detallada de la población zooplanctónica presente en la muestra cuantitativa de zooplancton indicando la densidad y biomasa, y el porcentaje de las especies presentes en la muestra integrada de la red vertical, se muestran en la tabla 5:

Tabla 5. Composición detallada de la comunidad de zooplancton.

COMPOSICIÓN	ABUNDANCIA	BIOMASA	PORCENTAJE
ZOOPLANCTON	Ind./L	µg/L	%
CLADÓCEROS			
<i>Ceriodapnia dubia</i>	9,23	14,77	7,29
<i>Daphnia galeata</i>	72,31	245,85	27,96
<i>Daphnia longispina</i>	3,08	11,69	1,22
COPÉPODOS			
<i>Copidodiaptomus numidicus</i>	16,92	51,06	41,34
<i>Cyclops vicinus</i>	5,38	5,69	6,38
ROTÍFEROS			
<i>Asplanchna priodonta</i>	10,77	8,08	2,43
<i>Polyarthra dolichoptera</i>	23,08	1,18	13,37
Total Cladóceros	84,62	272,31	36,47
Total Copépodos	22,31	56,75	47,72
Total Rotíferos	33,85	9,25	15,81
Total	140,77	338,31	100,00

5. DIAGNÓSTICO DEL GRADO TRÓFICO

Se han considerado los indicadores especificados en la tabla 6, estableciéndose el estado trófico global del embalse según la metodología descrita en la sección 5 de la MEMORIA DEL ESTUDIO.

Tabla 6. Parámetros indicadores y rangos de estado trófico.

Parámetros Estado Trófico	Ultraoligotrófico	Oligotrófico	Mesotrófico	Eutrófico	Hipereutrófico
Concentración P ($\mu\text{g P/L}$)	0-4	4-10	10-35	35-100	>100
Disco de Secchi (m)	>6	6-3	3-1,5	1,5-0,7	<0,7
Clorofila a ($\mu\text{g/L}$) epilimnion	0-1	1-2,5	2,5-8	8,0-25	>25
Densidad algal (cel./ml)	<100	100-1000	1000-10000	10000-100000	>100000
VALOR PROMEDIO FINAL	> 4,2	3,4 – 4,2	2,6 – 3,4	1,8 – 2,6	< 1,8

En la tabla 7 se incluye el estado trófico indicado por cada uno de los parámetros, así como la catalogación de la masa de agua según la valoración de este estado trófico final.

Tabla 7. Diagnóstico del estado trófico del embalse de Alloz.

INDICADOR	VALOR	ESTADO TRÓFICO
P TOTAL	9,95	Oligotrófico
CLOROFILA a	1,75	Oligotrófico
DISCO SECCHI	4,20	Oligotrófico
DENSIDAD ALGAL	980	Oligotrófico
ESTADO TROFICO FINAL	4,00	OLIGOTRÓFICO

Atendiendo a los criterios seleccionados, tanto el fósforo total (PT), la transparencia según el Disco de Secchi, la Clorofila a y la densidad algal indican un estado de oligotrofia. Combinando todos los indicadores el estado trófico final para el embalse de ALLOZ ha resultado ser **OLIGOTRÓFICO**.

6. DIAGNÓSTICO DEL POTENCIAL ECOLÓGICO

a) Aproximación experimental (PE_{exp})

Se han considerado los indicadores especificados en la tabla 8, estableciéndose el potencial ecológico del embalse según la metodología descrita en la sección 6.3, apartado a) de la MEMORIA DEL ESTUDIO.

Tabla 8. Parámetros y rangos para la determinación del potencial ecológico experimental.

Indicador	Elementos	Parámetros	Máximo	Bueno	Moderado	Deficiente	Maló
Biológico	Fitoplancton	Densidad algal (cel./ml)	<100	100-10 ³	10 ³ -10 ⁴	10 ⁴ -10 ⁵	>10 ⁵
		Biomasa algal, Clorofila a (µg/L)	0-1	1-2,5	2,5-8	8,0-25	>25
		Biovolumen algal (mm ³ /L)	<0,1	0,1-0,5	0,5-2	2-8	>8
		Phytoplankton Assemblage Index (Q)	>4	3-4	2-3	1-2	<1
		Trophic Index (TI)	<2,06	2,06-2,79	2,79-3,52	3,52-4,25	>4,25
		Phytoplankton Trophic Index (PTI)	>4,2	3,4-4,2	2,6-3,4	1,8-2,6	<1,8
	Phytoplankton Reservoir Trophic Index (PRTI)	<3,8	3,8-6,6	6,6-9,4	9,4-12,2	>12,2	
Zooplancton	Zooplankton Reservoir Trophic Index (ZRTI)	<3,8	3,8-6,6	6,6-9,4	9,4-12,2	>12,2	
INDICADOR BIOLÓGICO (1)			> 4, 2	3, 4 -4, 2	2,6-3,4	1, 8 -2, 6	< 1, 8
Fisicoquímico	Transparencia	Profundidad Disco de Secchi (m)	>6	3-6	1, 5 -3	0, 7 -1,5	<0, 7
	Oxigenación	Concentración O ₂ (mg O ₂ /L)	>8	8-6	6-4	4-2	<2
	Nutrientes	Concentración de PT (µg P/L)	0-4	4-10	10-35	35-100	>100
INDICADOR FISICOQUÍMICO (2)			MPE	AS FUN	NO AS FUN		
			>4,2	3,4-4,2	<3,4		

(1) La valoración del indicador biológico se obtiene asignando la calificación del elemento de menor puntuación (fitoplancton o zooplancton) o peor calidad, según la metodología *one out, all out*.

(2) La valoración del indicador fisicoquímico se obtiene realizando la media de las puntuaciones obtenidas para los distintos elementos. Si la media de los 3 elementos es igual o superior a 4,2 se considera que se cumplen las condiciones fisicoquímicas propias del máximo potencial ecológico (MPE). Si se alcanzan o superan los 3,4 puntos, se considera que las condiciones fisicoquímicas aseguran el funcionamiento del ecosistema (AS.FUN). Si no se alcanzan los 3,4 puntos, el estado fisicoquímico no asegura el funcionamiento del ecosistema (NO AS.FUN).

La combinación de los dos indicadores, fisicoquímico y biológico, para la obtención del potencial ecológico experimental final sigue el esquema de decisiones indicado en la tabla 9:

Tabla 9. Combinación de los indicadores.

Indicador Biológico	Indicador Físicoquímico	Potencial Ecológico Experimental
Máximo	M P E	Máximo
Máximo	As Fun	Bueno
Máximo	No As Fun	Moderado
Bueno	M P E	Bueno
Bueno	As Fun	Bueno
Bueno	No As Fun	Moderado
Moderado	Indistinto	Moderado

En la tabla 10 se incluye el potencial indicado por cada uno de los parámetros e indicadores, así como la catalogación de la masa de agua según el potencial ecológico final.

Tabla 10. Diagnóstico del potencial ecológico del embalse de Alloz.

Indicador	Elementos	Parámetros	Valor	Potencial
Biológico	Fitoplancton	Densidad algal (cel./ml)	980	Bueno
		Clorofila <i>a</i> (µg/L)	1,75	Bueno
		Biovolumen algal (mm ³ /L)	0,23	Bueno
		<i>Phytoplankton Assemblage Index (Q)</i>	4,02	Máximo
		<i>Phytoplankton Trophic Index (PTI)</i>	3,86	Bueno
		<i>Trophic Index (TI)</i>	2,34	Bueno
	Zooplancton	<i>Zooplankton Reservoir Trophic Index (ZRTI)</i>	8,74	Moderado
INDICADOR BIOLÓGICO			3,0	MODERADO
Físicoquímico	Transparencia	Disco de Secchi (m)	4,20	Bueno
	Oxigenación	O ₂ hipolimnética (mg O ₂ /L)	6,38	Bueno
	Nutrientes	Concentración de PT (µg P/L)	9,95	Bueno
INDICADOR FÍSICOQUÍMICO			4,0	AS FUN
POTENCIAL ECOLÓGICO P_{Exp}				MODERADO

b) Aproximación normativa (PE_{norm})

Se han considerado los indicadores, los valores de referencia y los límites de clase bueno-moderado (B/M), así como sus ratios de calidad ecológica (RCE), especificados en las tablas 11 y 12, estableciéndose el potencial ecológico del embalse según la metodología descrita en la sección 6.3, apartado b) de la MEMORIA DEL ESTUDIO.

Tabla 11. Valores de referencia propios del tipo (VR_t) y límites de cambio de clase de potencial ecológico (B/M, Bueno-Moderado) de los indicadores de los elementos de calidad de embalses (Orden ARM/2656/2008).

Tipo	Elemento	Parámetro	Indicador	VR _t	B/M	B/M (RCE)
Tipo 1	Fitoplancton	Biomasa	Clorofila <i>a</i> mg/m ³	2	9,5	0,21
			Biovolumen mm ³ /L	0,36	1,9	0,19
		Composición	Índice de Catalán (IGA)	0,1	10,6	0,97
			Porcentaje de cianobacterias	0	9,2	0,91
Tipo 7	Fitoplancton	Biomasa	Clorofila <i>a</i> mg/m ³	2,6	6	0,43
			Biovolumen mm ³ /L	0,76	2,1	0,36
		Composición	Índice de Catalán (IGA)	0,61	7,7	0,98
			Porcentaje de cianobacterias	0	28,5	0,72
Tipo 9	Fitoplancton	Biomasa	Clorofila <i>a</i> mg/m ³	2,6	6	0,43
			Biovolumen mm ³ /L	0,76	2,1	0,36
		Composición	Índice de Catalán (IGA)	0,61	7,7	0,98
			Porcentaje de cianobacterias	0	28,5	0,72
Tipo 10	Fitoplancton	Biomasa	Clorofila <i>a</i> mg/m ³	2,6	6	0,43
			Biovolumen mm ³ /L	0,76	2,1	0,36
		Composición	Índice de Catalán (IGA)	0,61	7,7	0,98
			Porcentaje de cianobacterias	0	28,5	0,72
Tipo 11	Fitoplancton	Biomasa	Clorofila <i>a</i> mg/m ³	2,6	6	0,43
			Biovolumen mm ³ /L	0,76	2,1	0,36
		Composición	Índice de Catalán (IGA)	0,61	7,7	0,98
			Porcentaje de cianobacterias	0	28,5	0,72

Tabla 12. Parámetros, rangos del RECT y valores para la determinación del potencial ecológico normativo.

			RANGOS DEL RCET				
Indicador	Elementos	Parámetros	Máximo	Bueno	No alcanza		
Biológico	Fitoplancton	Clorofila a (µg/L)	> 1	1-0,43	< 0,43		
		Biovolumen algal (mm ³ /L)	> 1	1-0,36	< 0,36		
		Índice de Catalán (IGA)	> 1	1-0,9822	< 0,9822		
		Porcentaje de cianobacterias	> 1	1-0,72	< 0,72		
			Máximo	Bueno	Moderado	Deficiente	Malo
INDICADOR BIOLÓGICO			> 0,8	0,6-0,8	0,4-0,6	0,2-0,4	< 0,2
			RANGOS DE VALORES				
Indicador	Elementos	Parámetros	Máximo	Bueno	Moderado	Deficiente	Malo
Fisicoquímico	Transparencia	Disco de Secchi (m)	>6	3-6	1, 5 -3	0, 7 -1,5	<0, 7
	Oxigenación	O ₂ hipolimnética (mg O ₂ /L)	>8	8-6	6-4	4-2	<2
	Nutrientes	Concentración de PT (µg P/L)	0-4	4-10	10-35	35-100	>100
			MPE	AS FUN	NO AS FUN		
INDICADOR FISICOQUÍMICO			>4,2	3,4-4,2	<3,4		

La combinación de los dos indicadores, fisicoquímico y biológico, para la obtención del potencial ecológico normativo final sigue el esquema de decisiones indicado en la tabla 13:

Tabla 13. Combinación de los indicadores.

Indicador Biológico	Indicador Fisicoquímico	Potencial Ecológico Normativo
Máximo	M P E	Máximo
Máximo	As Fun	Bueno
Máximo	No As Fun	Moderado
Bueno	M P E	Bueno
Bueno	As Fun	Bueno
Bueno	No As Fun	Moderado
Moderado	Indistinto	Moderado

En la tabla 14 se incluye el potencial indicado por cada uno de los parámetros, así como la catalogación de la masa de agua según el potencial ecológico final (*PE_{norm}*) tras pasar el filtro del indicador fisicoquímico.

Tabla 14. Diagnóstico del potencial ecológico (*PE_{norm}*) del embalse de Alloz.

Indicador	Elementos	Parámetro	Indicador	Valor	RCE	RCET	<i>PE_{norm}</i>
Biológico	Fitoplancton	Biomasa	Clorofila <i>a</i> (µg/L)	1,75	1,49	1,34	Máximo
			Biovolumen algal (mm ³ /L)	0,23	3,32	2,45	Máximo
			Media				1,90
		Composición	<i>Índice de Catalán (IGA)</i>	0,30	1,001	1,02	Máximo
			<i>Porcentaje de cianobacterias</i>	0,00	1,00	1,00	Máximo
			Media				1,01
Media global						1,45	
INDICADOR BIOLÓGICO				1,45			MÁXIMO
Indicador	Elementos	Indicador	Valor			<i>PE_{norm}</i>	
Fisicoquímico	Transparencia	Disco de Secchi (m)	4,20			Bueno	
	Oxigenación	O ₂ hipolimnética (mg O ₂ /L)	6,38			Bueno	
	Nutrientes	Concentración de PT (µg P/L)	9,95			Bueno	
INDICADOR FISICOQUÍMICO				4,0			AS FUN
POTENCIAL ECOLÓGICO <i>PE_{norm}</i>				BUENO			

ANEXO I. REPORTAJE FOTOGRÁFICO



Figura 7. Vista de la presa del embalse



Figura 8. Vista del punto de acceso



Figura 9. Vista de la cola del embalse